

16 Двуникови методи. Локални оценки. Скорост на сходимост.

16.1 Двуников базис и двуников разделяне.

Разглеждаме елиптична гранична задача във вариационната формулировка, както следва: за дадена дясна част $f \in L^2(\Omega)$ търсим $u \in H_0^1(\Omega)$, такова че

$$a(u, v) = \int_{\Omega} f v d\Omega, \quad \text{за всяко } v \in H_0^1(\Omega),$$

където

$$a(u, v) = \int_{\Omega} \sum_{i,j=1}^2 p_{ij} \frac{\partial u}{\partial x_i} \frac{\partial v}{\partial x_j} d\Omega, \quad u, v \in H_0^1(\Omega).$$

Тук матрицата от коефициентите $[a_{ij}]$ е симетрична и положително определена. Прилагаме МКЕ и получаваме дискретната задача: търсим $u_h \in V \subset H_0^1(\Omega)$, такова че

$$a(u_h, v_h) = \sum_{e \in T} a_e(u_h, v_h) = (f, v_h) \quad \text{за всяко } v_h \in V, \quad (16.1)$$

където

$$a_e(u_h, v_h) = \int_e \sum_{i,j=1}^2 p_{ij}(e) \frac{\partial u_h}{\partial x_i} \frac{\partial v_h}{\partial x_j} de.$$

Нека означим с \mathcal{T}_1 една начална триангулация на Ω , която описва геометрията на областта. Ще предполагаме, че коефициентите на граничната задача са константи във всеки от елементите от \mathcal{T}_1 . Нека означим с $V_1 \subset H_0^1(\Omega)$ множеството от на части линейните функции, относно триангулацията \mathcal{T}_1 . На крайномерното пространство V_1 съответства системата от линейни алгебрични уравнения

$$A^{(1)} \mathbf{u}^{(1)} = \mathbf{f}^{(1)}.$$

За да намерим числено решение с достатъчна точност прилагаме сгъстяване на мрежата. Така получаваме триангуляциите $\mathcal{T}_1 \subset \mathcal{T}_2 \subset \dots \subset \mathcal{T}_{\ell}$. Тук \mathcal{T}_{k+1} се получава посредством добавяне на средните отсечки във всеки елемент $e \in \mathcal{T}_k$. Следователно всеки триъгълник от по-грубата мрежа се

разделя на четири еднакви триъгълника от по-фината мрежа, които са подобни на изходния (виж Фиг. 2). С триангулациите $\{\mathcal{T}_k\}_{k=1}^\ell$ са асоциирани крайноелементните пространства $V_1 \subset V_2 \subset \dots \subset V_\ell$ и съответните матрици на коравина $A^{(1)}, A^{(2)}, \dots, A^{(\ell)}$. Матриците на коравина $A^{(k)}$ са пресметнати относно стандартния Лагранжев възлов базис. Нашата крайна цел е да решим системата върху най-фината мрежа, т.е.

$$A^{(\ell)} \mathbf{u}^{(\ell)} = \mathbf{f}^{(\ell)}.$$

Тук ще концентрираме своето внимание върху $(k+1)$ -вото ниво. Нека разгледаме разделяне на възлите $\mathbf{N}^{(k+1)}$ от \mathcal{T}_{k+1} на две подмножества: $\mathbf{N}^{(k+1)} \setminus \mathbf{N}^{(k)}$ и $\mathbf{N}^{(k)}$. Записваме матрицата $A^{(k+1)}$ в блочен вид

$$A^{(k+1)} = \begin{bmatrix} A_{11}^{(k+1)} & A_{12}^{(k+1)} \\ A_{21}^{(k+1)} & A_{22}^{(k+1)} \end{bmatrix}, \quad (16.2)$$

където първият диагонален блок $A_{11}^{(k+1)}$ съответства на възлите от $\mathbf{N}^{(k+1)} \setminus \mathbf{N}^{(k)}$, а вторият диагонален блок $A_{22}^{(k+1)}$ на останалите, т.е. на възлите от $\mathbf{N}^{(k)}$.

Нека означим с $\Phi^{(k+1)} = \{\phi_i^{(k+1)}\}_{i=1}^{N^{(k+1)}}$ стандартния възлов базис за V_{k+1} . Йерархичният двунивов базис се дефинира, както следва:

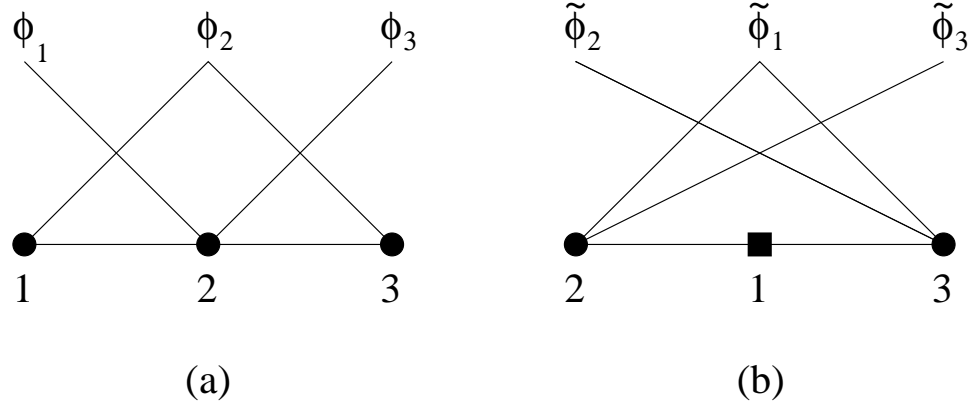
$$\begin{aligned} \tilde{\Phi}^{(k+1)} &= \{\tilde{\phi}_i^{(k+1)}\}_{i=1}^{N^{(k+1)}} \\ &= \{\phi_r^{(k+1)}, r \text{ съответстват на } \mathbf{N}^{(k+1)} \setminus \mathbf{N}^{(k)}\} \cup \{\phi_i^{(k)}\}_{i=1}^{N^{(k)}} \end{aligned}$$

С други думи, базисните функции от първия блок, съответстващи на възлите от $\mathbf{N}^{(k+1)} \setminus \mathbf{N}^{(k)}$ остават непроменени, а вторият блок е базисът $\Phi^{(k)}$, съответстващ на по-грубата триангулация \mathcal{T}_k . На Фиг. 1 е показан стандартен (a) и двунивов (b) базис за един макроелемент в едномерния случай при линейни крайни елементи.

Така дефинираният двунивов базис се пресмята по формулата

$$\tilde{\Phi}^{(k+1)} = J^{(k+1)} \Phi^{(k+1)}, \quad J^{(k+1)} = \begin{bmatrix} I & \\ J_{21}^{(k+1)} & I \end{bmatrix}.$$

Тук матрицата $J_{21}^{(k+1)}$ е силно разредена (проверете нейния явен вид за едномерната задача), а както навсякъде в изложението, I е единичната матрица със съгласувана с останалите блокове (матрици) размерност.



Фигура 1: (a) стандартен базис; (b) двуников базис.

Матрицата на коравина, пресметната относно двуниковия базис означаваме с $\tilde{A}^{(k+1)}$:

$$\tilde{A}^{(k+1)} = \begin{bmatrix} \tilde{A}_{11}^{(k+1)} & \tilde{A}_{12}^{(k+1)} \\ \tilde{A}_{21}^{(k+1)} & \tilde{A}_{22}^{(k+1)} \end{bmatrix}. \quad (16.3)$$

Теорема 16.1 В сила са следните зависимости между матриците на коравина, пресметнати относно стандартен и двуников базис:

(a)

$$\tilde{A}_{11}^{(k+1)} = A_{11}^{(k+1)}, \quad \tilde{A}_{22}^{(k+1)} = A_{22}^{(k)};$$

(b) Допълнението на Шур не се променя при преход от стандартен към юерархичен базис.

Доказателство. Твърдение (a) на теоремата следва непосредствено от дефиницията на двуниковия базис. За да докажем (b) ще използваме формулата за смяна на базиса. В разглеждания случай тя се записва във вида:

$$\tilde{A}^{(k+1)} = J^{(k+1)} A^{(k+1)} J^{(k+1)T}.$$

Следователно

$$\tilde{A}^{(k+1)} = \begin{bmatrix} A_{11}^{(k+1)} & A_{11}^{(k+1)} J_{12}^{(k+1)} + A_{12}^{(k+1)} \\ J_{21}^{(k+1)} A_{11}^{(k+1)} + A_{21}^{(k+1)} & J_{21}^{(k+1)} A_{11}^{(k+1)} J_{12}^{(k+1)} + J_{21}^{(k+1)} A_{12}^{(k+1)} \\ & + A_{21}^{(k+1)} J_{12}^{(k+1)} + A_{22}^{(k+1)} \end{bmatrix},$$

където $J_{12}^{(k+1)} = J_{21}^{(k+1)T}$. От последното равенство получаваме, че

$$\begin{aligned}\tilde{S}^{(k+1)} &= J_{21}^{(k+1)} A_{11}^{(k+1)} J_{12}^{(k+1)} + J_{21}^{(k+1)} A_{12}^{(k+1)} + A_{21}^{(k+1)} J_{12}^{(k+1)} + A_{22}^{(k+1)} \\ &\quad - (J_{21}^{(k+1)} A_{11}^{(k+1)} + A_{21}^{(k+1)}) A_{11}^{(k+1)-1} (A_{11}^{(k+1)} J_{12}^{(k+1)} + A_{12}^{(k+1)}) \\ &= A_{22}^{(k+1)} - A_{21}^{(k+1)} A_{11}^{(k+1)-1} A_{12}^{(k+1)} \\ &= S^{(k+1)}.\end{aligned}$$

С това теоремата е доказана. ■

От условие (a) на теоремата следва представянето:

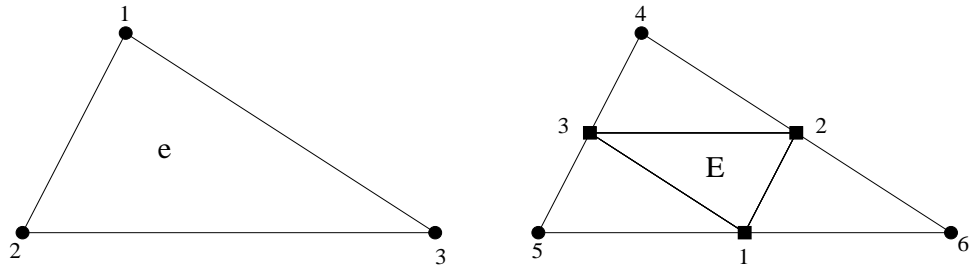
$$\tilde{A}^{(k+1)} = \begin{bmatrix} A_{11}^{(k+1)} & \tilde{A}_{12}^{(k+1)} \\ \tilde{A}_{21}^{(k+1)} & A^{(k)} \end{bmatrix}. \quad (16.4)$$

Матриците на коравина $A^{(k+1)}$ и $\tilde{A}^{(k+1)}$ могат да се асемблират от макроелементните матрици на коравина относно триъгълниците $E \in \mathcal{T}_{k+1}$ получени при разделяне на 4 нови триъгълника на $e \in \mathcal{T}_k$. Те имат аналогична 2×2 блочна структура и свойства, т.е.:

$$A_E^{(k+1)} = \begin{bmatrix} A_{11;E}^{(k+1)} & A_{12;E}^{(k+1)} \\ A_{21;E}^{(k+1)} & A_{22;E}^{(k+1)} \end{bmatrix}, \quad (16.5)$$

$$\tilde{A}_E^{(k+1)} = \begin{bmatrix} A_{11;E}^{(k+1)} & \tilde{A}_{12;E}^{(k+1)} \\ \tilde{A}_{21;E}^{(k+1)} & A_e^{(k)} \end{bmatrix}. \quad (16.6)$$

Тук всеки от блоковете е с размерност 3×3 , като можем да си мислим, че номерацията съответства на Фиг. 2.



Фигура 2: Равномерно сгъстяване на мрежата. Номерация на възлите в макроелемент.

16.2 Локална оценка на константата в усиленото неравенство на КБШ.

Нека пространствата W_1 и W_2 съответстват на двунивовото блочно представяне на матрицата на коравина, пресметната относно йерархичния двунивов базис. Нека означим с W_1^h и W_2^h пространствата от крайноелементни функции, съответстващи на векторите от W_1 и W_2 . За константата в усиленото неравенство на КБШ е в сила еквивалентното представяне

$$\gamma^2 = \sup_{v_i^h \in W_i^h, i=1,2} \frac{[a(v_1^h, v_2^h)]^2}{a(v_1^h, v_1^h) a(v_2^h, v_2^h)}.$$

Тук сме отчели, че матрицата на коравина на елиптичната задача е положително определена. На макроелементните матрици на коравина съответстват локални константи γ_E в усиленото неравенство на КБШ, за които е в сила равенството

$$\gamma_E^2 = \sup_{v_i^h \in W_i^h, v_2^h|_E \neq const} \frac{[a_E(v_1^h, v_2^h)]^2}{a_E(v_1^h, v_1^h) a_E(v_2^h, v_2^h)},$$

където

$$a_E(u, v) = \int_E \sum_{i,j=1}^2 p_{ij} \frac{\partial u}{\partial x_i} \frac{\partial v}{\partial x_j} dE.$$

Тук е важно да отбележим, че макроелементната матрица на коравина е в общия случай положително полуопределенна, като ядрото се състои от константите. В стандартен възлов базис на константна функция съответства константен вектор от възлови параметри. Очевидно за двунивовото разделяне относно двунивовия базис е в сила условието, че ако $\begin{bmatrix} \mathbf{v}_1 \\ \mathbf{v}_2 \end{bmatrix} \in \mathcal{N}(\tilde{A}_E^{(k+1)})$, то \mathbf{v}_2 принадлежи на ядрото

$$\mathcal{N}(\tilde{A}_{E;22}^{(k+1)}) = \mathcal{N}(A_e^{(k)}).$$

Фундаментално значение за двунивовите методи за преобуславяне има следващата теорема.

Теорема 16.2 Глобалната константа в усиленото неравенство на КБШ, съответстваща на двунивово разделяне на матрицата на коравина, пресметната относно йерархичен двунивов базис се оценява с помощта на локалните константи, като е в сила неравенството

$$\gamma \leq \max_{E \in \mathcal{T}_{k+1}} \gamma_E.$$

Доказателство.

$$\begin{aligned} |a(v_1, v_2)| &\leq \sum_{E \in \mathcal{T}_{k+1}} |a_E(v_1, v_2)| \\ &\leq \sum_{E \in \mathcal{T}_{k+1}} \gamma_E \sqrt{a_E(v_1, v_1)} \sqrt{a_E(v_2, v_2)} \\ &\leq \max_{E \in \mathcal{T}_{k+1}} \gamma_E \sum_{E \in \mathcal{T}_{k+1}} \sqrt{a_E(v_1, v_1)} \sqrt{a_E(v_2, v_2)} \\ &\leq \max_{E \in \mathcal{T}_{k+1}} \gamma_E \sqrt{\sum_{E \in \mathcal{T}_{k+1}} a_E(v_1, v_1)} \sqrt{\sum_{E \in \mathcal{T}_{k+1}} a_E(v_2, v_2)} \\ &\leq \max_{E \in \mathcal{T}_{k+1}} \gamma_E \sqrt{a(v_1, v_1)} \sqrt{a(v_2, v_2)}, \end{aligned}$$

с което теоремата е доказана. ■

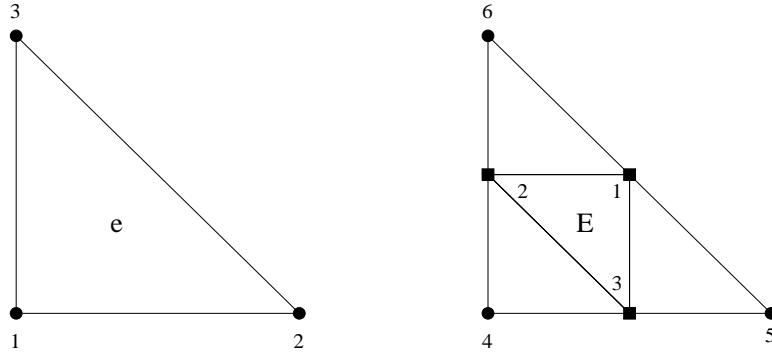
Важно е да отбележим, че локалните константи γ_E не зависят от нивото на сгътяване на мрежата, а само от характеристиките относно началната триангулация. Това е така, защото коефициентите на задачата са константи върху всеки елемент от \mathcal{T}_1 , а елементите от следващите \mathcal{T}_k са подобни на триъгълниците от \mathcal{T}_1 .

В заключение ще покажем, как на практика могат да бъдат пресметнати локалните константи γ_E . Тъй като константата в усиленото неравенство на КБШ е минималната възможна, за която е в сила неравенството

$$1 - \gamma_E^2 \leq \frac{\mathbf{v}_2^T \tilde{S}_E \mathbf{v}_2}{\mathbf{v}_2^T A_e \mathbf{v}_2}, \quad (16.7)$$

то $(1 - \gamma_E^2)$ е минималното собствено число на обобщената спектрална задача

$$\tilde{S}_E \mathbf{v}_2 = \mu A_e \mathbf{v}_2, \quad \mathbf{v}_2^T \neq (1, 1, 1). \quad (16.8)$$



Фигура 3: Моделна задача върху равномерна правоъгълна мрежа.

Тук не записваме горните индекси, тъй като задачата на зависи от нивото на сгъстяване.

Пример. Нека разгледаме моделна задача, съответстваща на билинейната форма

$$a(u, v) = \int_{\Omega} p(T) \left(\frac{\partial u}{\partial x_1} \frac{\partial v}{\partial x_1} + \frac{\partial u}{\partial x_2} \frac{\partial v}{\partial x_2} \right) d\Omega.$$

Нека Ω е правоъгълен полигон, и нека \mathcal{T}_1 е равномерна триангуляция, която се състои от равнобедрени правоъгълни триъгълници, с катети успоредни на координатните оси. Както и в общия случай, предполагаме че коефициентът $p(x_1, x_2) = p(T)$ е константа върху всеки от елементите $T \in \mathcal{T}_1$. При тези предположения локалната константа в усиленото неравенство на КБШ е единствена и се пресмята относно макроелементна и елементна матрици на коравина (виж Фиг. 3), които имат следния явен вид.

$$A_e = \frac{p(e)}{2} \begin{bmatrix} 2 & -1 & -1 \\ -1 & 1 & 0 \\ -1 & 0 & 1 \end{bmatrix} \quad A_E = \frac{p(e)}{2} \begin{bmatrix} 4 & -2 & -2 & 0 & 0 & 0 \\ -2 & 4 & 0 & -1 & 0 & -1 \\ -2 & 0 & 4 & -1 & -1 & 0 \\ 0 & -1 & -1 & 2 & 0 & 0 \\ 0 & 0 & -1 & 0 & 1 & 0 \\ 0 & -1 & 0 & 0 & 0 & 1 \end{bmatrix}$$

$$\tilde{S}_E = \frac{p(e)}{16} \begin{bmatrix} 8 & -4 & -4 \\ -4 & 5 & -1 \\ -4 & -1 & 5 \end{bmatrix}$$

Така, разглежданата задача (16.8) се свежда до уравнението

$$\begin{vmatrix} 5 - 8\mu & -1 \\ -1 & 5 - 8\mu \end{vmatrix} = 0.$$

Следователно $1 - \gamma_E^2 = \mu_1 = 1/2$, т.e. $\gamma_E^2 = 1/2$, т.e.

$$\gamma^2 \leq \frac{1}{2}.$$

В общия случай е в сила следната теорема.

Теорема 16.3 *При най-общи предположения за триъгълнициите от началната мрежа T_1 и за коефициентната матрица $[p_{ij}]$ е в сила оценката*

$$\gamma^2 \leq \frac{3}{4}. \quad (16.9)$$

Забележка 16.1 *Оценката (16.9) е равномерна, както относно размерността на дискретната задача (броя на нивата на сгъстяване на мрежата) и възможни скокове на коефициентите $[p_{ij}]$, така и относно произволна мрежова или коефициентна анизотропия.*

Забележка 16.2 *В разгледания пример редуцираме обобщената спектрална задача от 3×3 до 2×2 , като отчитаме, че тривидалното решение, съответстващо на константен собствен вектор се изключва.*